

## *Zeolitové vývěvy*

- zeolity, molekulová síta - přírodní, umělé (až 1000 m<sup>2</sup>/g)
- mikroporézní sklo
- aktivní uhlí (400 - 1500 m<sup>2</sup>/g)

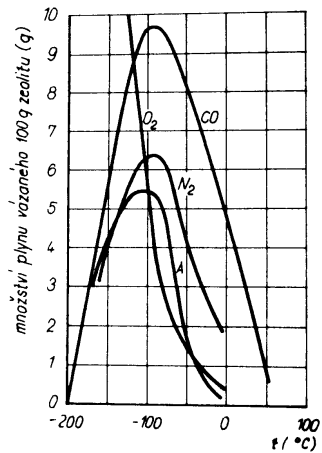
typické chlazení pomocí LN<sub>2</sub>

Přírodní zeolit

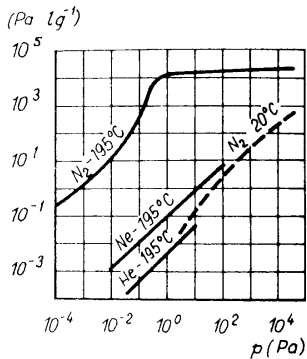


Tab. 4.14. Některé důležitější charakteristiky zeolitů a aktivních sorbentů

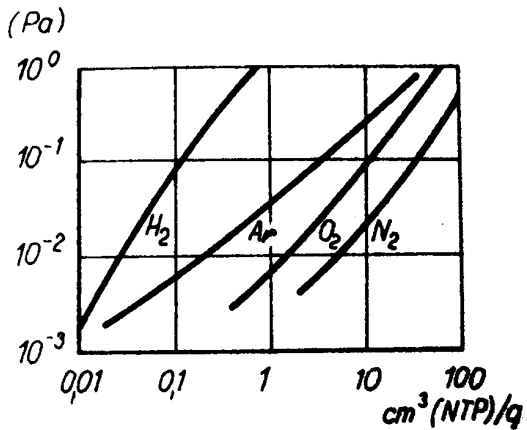
Průměr kanálků (nm)	0,38	0,4	0,5	0,7	0,9	1	1,8
Označení podle Lindeho	3,8A	4A (NaA)	5 (CaA)	mikroporézní sklo	10X (CaX)	13X (nAX)	mikroporézní sklo
Měrný sorpční povrch		700 – 800		100 – 200	1 050		100 – 200
Zrnitost		granule o průměru 1,5 nebo 3 mm ( $0,7 \text{ kg l}^{-1}$ )					
Hustota ( $\text{g cm}^{-3}$ )		odplyněný 1,55, vodou nasycený 2,0					
Porozita (obj.%)	45				51		



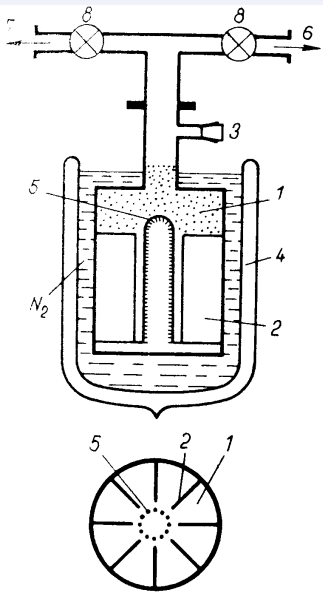
Obr. 4.105. Množství plynu (CO, O<sub>2</sub>, N<sub>2</sub> a Ar) adsorbovaného na zeolitu typu 4A při tlaku 90 kPa v závislosti na teplotě (podle Espeho, 1965 a Thomase a Masseye, 1961)



Obr. 4.106. Závislost množství plynu adsorbovaného na zeolitu typu 5A na pracovním tlaku  $p$  (podle Turnera a Feinleba, 1961): 293 K (čárkováně), 78 K (plně)



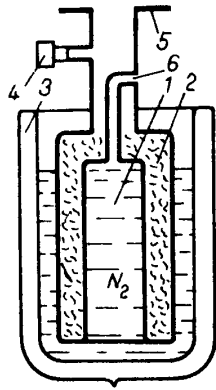
Závislost rovnovážného tlaku na množství adsorbovaného plynu,  
zeolit 5A při teplotě 77 K



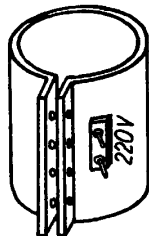
Obr. 4.108. Zeolitová vývěva

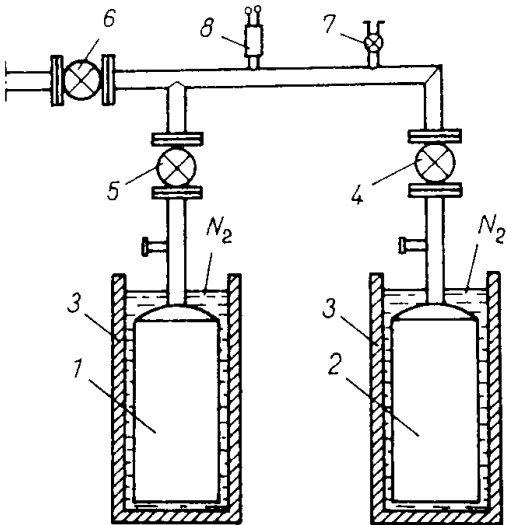
1 – zeolit; 2 – přepážky; 3 – přetlakový ventil; 4 – Dewarova nádoba; 5 – síťka; 6 – potrubí k rotační vývěvě; 7 – potrubí k vakuovému systému; 8 – ventily; 9 – hrdlo vývěvy z materiálu s malou tepelnou vodivostí (např. z nerezavějící oceli)

a)



b)

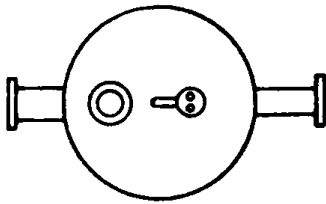
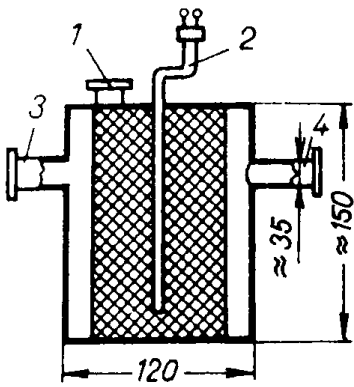


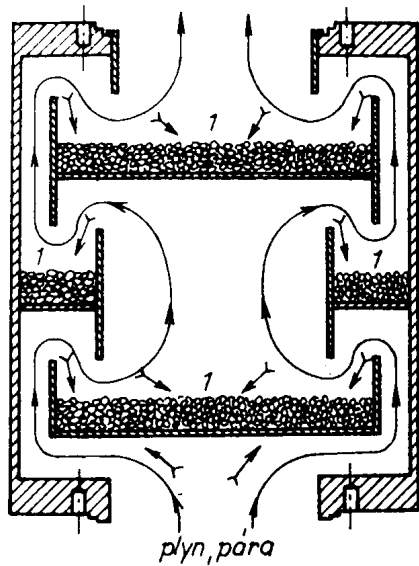


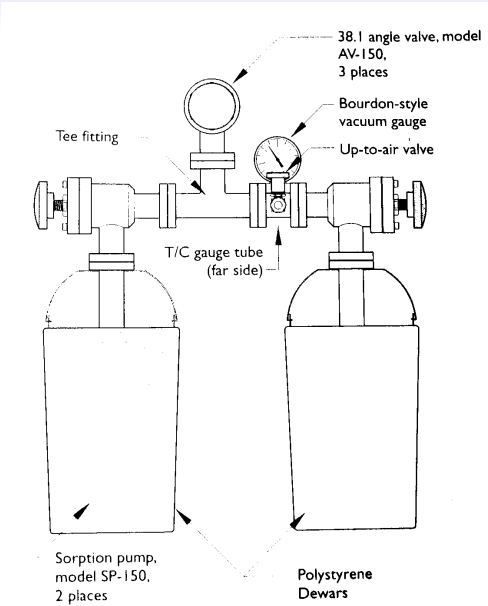
Tab. 4.15. Parciální tlaky plynů a par (v procentech celkového tlaku) při čerpání jednou, dvěma a třemi zeolitovými vývěvami a systémem dvou zeolitových vývěv a olejové rotační vývěvy (Majelko, 1970)

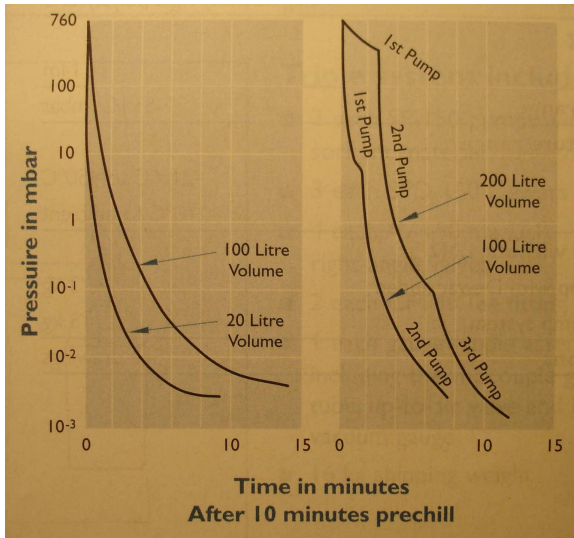
Plyn (pára)	Zeolitové vývěvy (počet)			Zeolitová a olejová rotační vývěva
	1	2	3	
CO <sub>2</sub>	0,5	0,1	0,1	0,2
Ar	0,5	0,1	0,2	0,1
O <sub>2</sub>	1	1	4	0,6
N <sub>2</sub> + CO	0,5	1	2	1
Ne	58	64	53	57
H <sub>2</sub> O	6	4	7	28
He	28	22	26	0,1
H <sub>2</sub>	5,5	8	8	13
$p_{cel}$ (Pa)	1,4	$3,7 \cdot 10^{-1}$	$9,3 \cdot 10^{-2}$	$5,3 \cdot 10^{-2}$

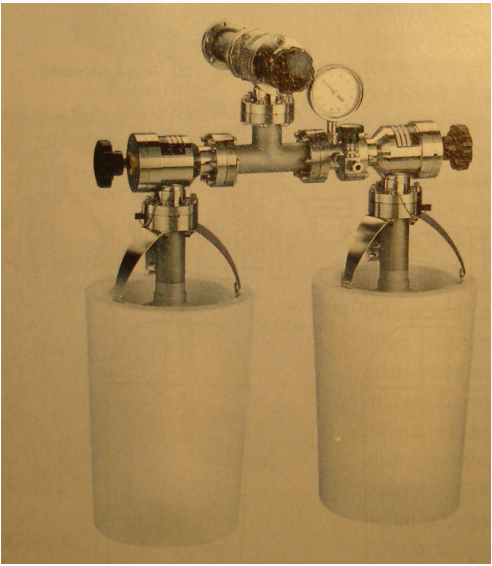
Náplň každé zeolitové vývěvy byla tvořena 450 g zeolitu 5A. Tento zeolit dobře čerpá různé plyny, zejména vodní páru, dusík, kyslík a kysličník uhličitý, méně čerpá argon; neon, helium, vodík nečerpá vůbec, takže jejich tlak zůstává v systému po čerpání týž jako v atmosféře





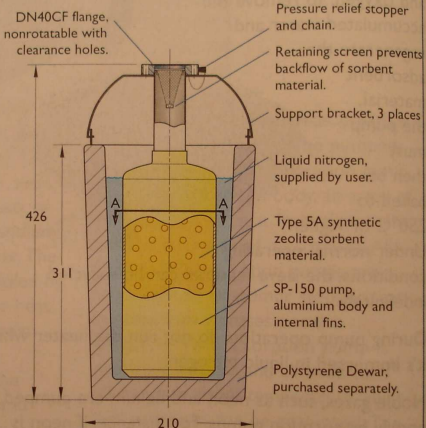






### Sorption pump model SP-150

Shown installed in polystyrene Dewar



**View A-A**  
Pump only

- dominantní proces je fyzisorbce
- dobře čerpá  $H_2O$ ,  $N_2$ ,  $O_2$ , uhlovodíky
- špatně čerpá  $Ne$ ,  $He$ ,  $H_2$ , ...
- velký povrch,  $1g \sim 1000m^2$ , pracuje od  $\sim 10^5 Pa$
- dutiny a kanálky  $\sim 1nm$
- dá se regenerovat při vysoké teplotě
- zvětšení účinnosti snížením teploty zeolitu (tekutý dusík 77 K)
- žádné vibrace

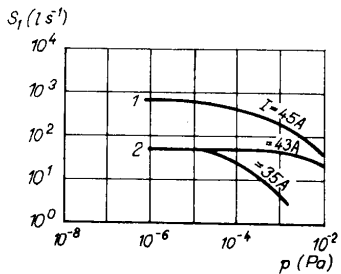
## *Sublimační vývěvy*

Princip - opakované vytváření povrchu čistého kovu (napařování, naprašování,...), nejčastěji se používá Ti.

Teoreticky mohou pracovat od atmosférického tlaku, prakticky asi od  $10^{-4} Pa$ .

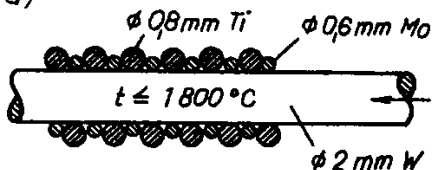
Tab. 4.17. Čerpací rychlosť (měrná) čistého titanového povrchu

S ( $1\text{ s}^{-1}\text{ cm}^{-2}$ )	Plyn (pára)						
	CO	$\text{CO}_2$	$\text{H}_2$	$\text{H}_2\text{O}$	$\text{N}_2$	$\text{O}_2$	$\text{Ar}, \text{He}, \text{CH}_4$
při $20^\circ\text{C}$	6	5	3	3	2,5	1,5	0
při $-196^\circ\text{C}$	11	10	6	15	6	6	0

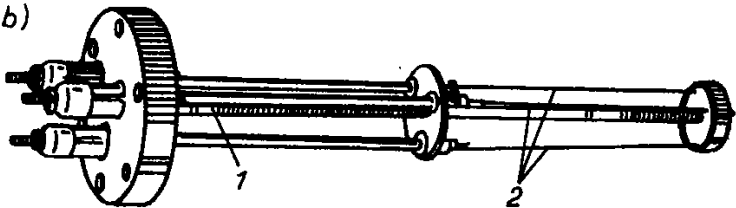


Obr. 4.118. Čerpaci charakteristiky sublimačních vývěv pro dusík při teplotě 293 K a pro různé hodnoty proudu sublimačního elementu titanu: čárkováné vývěva s čerpací rychlostí  $700 \text{ l s}^{-1}$ , plně vývěva s čerpací rychlostí  $50 \text{ l s}^{-1}$

a)

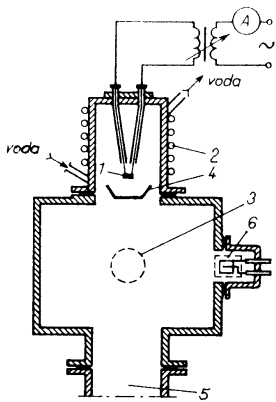


b)



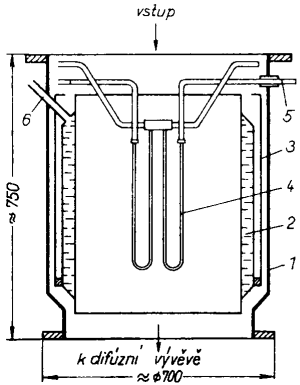
Tab. 4.18. Prodleva při rozprašování titanu 90sekundovými pulsy v sublimační vývěvě  
v závislosti na tlaku

$p$ (Pa)	$10^{-3}$	$10^{-4}$	$10^{-5}$	$10^{-6}$	$10^{-7}$	$10^{-8}$	$10^{-9}$
Prodleva	0	5 min	15 min	30 min	1 h	8 h	24 h



Obr. 4.120. Sublimační vývěva

1 – zdroj titanových par (sublimační element); 2 – plášť vývěvy chlazený vodou; 3 – zdroj plynu; 4 – stínění; 5 – potrubí k difúzní vývěvě čerpající netočné plyny; 6 – ionizační vakuometr (částečně stíněný)



Obr. 4.122. Velká kryogenní sublimační vývěva s čerpací rychlosí  $S_{H_2} = 150\,000\,1\,s^{-1}$  (podle Prévota a Sledziewského, 1964)

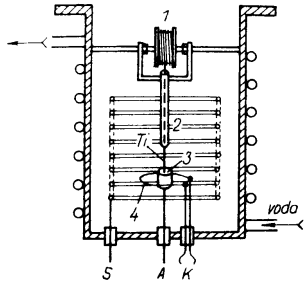
1 – plášť; 2 – chlazení kapalným dusíkem;  
3 – stínění pro tepelnou izolaci; 4 – zdroj par titánu; 5 – přívod proudu; 6 – otvor pro plnění dusíkem

- dominantní proces je chemisorbce
- dobře čerpá  $H_2$ ,  $H_2O$ ,  $N_2$ ,  $CO$ ,  $CO_2$ ,  $O_2$
- nečerpá inertní plyny např.  $Ne$ ,  $Ar$ , ...
- opakované vytváření čistého povrchu kovu, pracuje od  $\sim 10^{-4} Pa$
- získávání vysokého a extrémně vysokého vakua
- zvětšení účinnosti snížením teploty pohlcujícího povrchu

# *Iontové vývěvy*

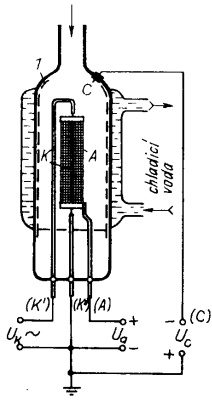
## Iontově sublimační vývěvy

ionizace plynu - čerpá i inertní plyny, rozprašování Ti



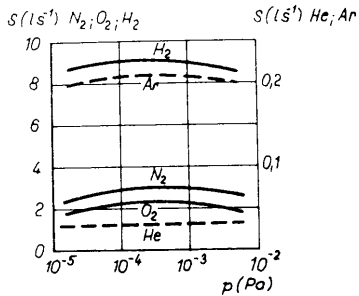
Obr. 4.123. Iontová sublimační vývěva

1 – cívka s titanovým drátem; 2 – trubička;  
3 – tyglíková anoda; K – katoda; S – mřížka;  
A – přívod anody

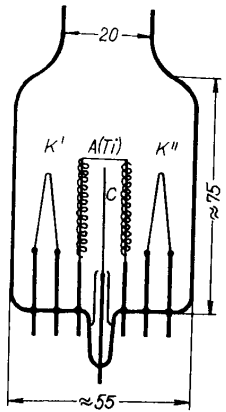


Obr. 4.124. Schéma skleněné iontové sublimační vývěvy

$C$  — kolektor (vrstva naprášeného titanu je znázorněna čárkovaně);  $A$  — anoda pokrytá vrstvou titanu;  $K$  — katoda



Obr. 4.125. Závislost čerpací rychlosti na tlaku pro různé plyny



Obr. 4.126. Malá skleněná iontová sublimační vývěva  
K', K'' katody; C – kolektor; A (Ti) –  
anoda z wolframu ovinutá titanovým  
vláknem